

01;06

Фотоннокристаллические свойства одномерной продольно намагниченной периодической структуры

© С.В. Елисеева, Д.И. Семенцов, М.М. Степанов

Ульяновский государственный университет,
432970 Ульяновск, Россия

e-mail: eliseeva-sv@ya.ru; e-mail: sementsovdi@mail.ru

(Поступило в Редакцию 5 мая 2009 г.)

Исследуются особенности распространения циркулярно-поляризованных волн в плоскостойкой периодической продольно намагниченной структуре ферромагнетик–диэлектрик. Получены дисперсионные соотношения и коэффициенты отражения, построены частотные зависимости блоховского волнового числа и коэффициентов отражения для собственных волн рассматриваемой периодической структуры. Построены зависимости угла поворота плоскости поляризации при полярном эффекте Керра от частоты и соотношения толщины слоев в одном периоде для различного числа периодов в структуре.

Введение

Искусственные периодические или фотоннокристаллические структуры (ФКС), созданные на основе различных материалов, на протяжении последних лет вызывают пристальное внимание исследователей [1–3]. Для проявления эффектов, присущих фотонным кристаллам, длина распространяющейся в них волны должна быть сравнима с периодом структуры. Одной из наиболее интересных искусственных периодических структур являются магнитофотонные кристаллы, полученные путем послойного роста периодической магнитной структуры или путем заполнения пустот в опалах магнитными веществами [4–7].

Наряду с ФКС, обладающими фотонными запрещенными зонами в оптическом диапазоне, интерес представляют также периодические структуры с запрещенными зонами, лежащими в более длинноволновых диапазонах. Подобными структурами являются периодические композитные среды с включениями различной природы и геометрии, эффективная магнитная проницаемость которых обладает существенной дисперсией и резонансными частотами в СВЧ-диапазоне [8,9]. Так, характерными особенностями одномерных фотонных кристаллов обладают плоскостойкие периодические структуры, в периоде которых присутствует магнитоактивный слой. Зонный спектр таких структур является управляемым внешним магнитным полем, что представляет существенный интерес для их практического использования. Присутствие магнитных материалов в периодических структурах приводит к проявлению таких эффектов магнитооптики, как магнитное двулучепреломление (при поперечной ориентации намагниченности относительно направления распространения) и вращение плоскости поляризации прошедшей и отраженной волны (при продольном подмагничивании структуры). Ситуация с поперечно намагниченными периодическими структурами достаточно хорошо изучена. Ситуация с продольным распространением

анализировалась меньше, хотя с точки зрения проявления магнитооптических эффектов является более богатой.

Исследование отражательных свойств периодических магнитогиротропных структур является в этом плане актуальной задачей. В настоящей работе исследуются магнитооптические особенности, проявляющиеся при отражении циркулярно-поляризованных волн от продольно намагниченной периодической структуры в условиях, когда проявляется зонная структура спектра. Структура состоит из чередующихся слоев ферромагнитного и немагнитного диэлектриков и помещена во внешнее подмагничивающее поле, ориентированное вдоль оси периодичности структуры. На основе решения граничной задачи получены дисперсионные соотношения и выражения для коэффициентов отражения для циркулярных волн, рассмотрены особенности вращения плоскости поляризации в случае полярного эффекта Керра внутри и вне запрещенных зон.

Основные соотношения

Рассмотрим слоистую периодическую структуру, состоящую из слоев однородно намагниченного магнетика толщиной d_1 и слоев немагнитного диэлектрика толщиной d_2 . Ось OZ декартовой системы координат направлена перпендикулярно границам раздела слоев. Вдоль этого направления ориентировано внешнее подмагничивающее поле \mathbf{H} и распространяются собственные циркулярно-поляризованные электромагнитные волны СВЧ-диапазона. Особенности взаимодействия электромагнитной волны с намагниченностью магнитных слоев описываются высокочастотной магнитной проницаемостью, которая в общем случае является тензорной характеристикой. Для выбранной системы координат и насыщенного вдоль направления подмагничивающего поля состояния тензор $\hat{\mu}_f$ имеет следующие отличные от нуля компоненты $\mu_{xx} = \mu_{yy} = \mu$, $\mu_{zz} = 1$ и $\mu_{xy} = -\mu_{yx} = i\mu_a$,

которые для изотропного магнетика имеют известную резонансную частотную зависимость [10]:

$$\mu = 1 + \frac{\omega_M(\omega_H^2 + i\omega_r\omega)}{\omega_H(\omega_H^2 - \omega^2 + 2i\omega_r\omega)},$$

$$\mu_a = \frac{\omega\omega_M}{\omega_H^2 - \omega^2 + 2i\omega_r\omega}. \quad (1)$$

Здесь введены параметры $\omega_M = 4\pi\gamma M$, $\omega_H = \gamma H$, $\omega_r = \xi\omega_H$ и обозначения: M — намагниченность насыщения, γ — магнитомеханическое отношение, ξ — безразмерный параметр релаксации в магнитной подсистеме.

В отношении электрических свойств магнетик также будем считать изотропной средой, поэтому тензор диэлектрической проницаемости имеет диагональный вид с компонентами ϵ_f . Для слоев диэлектрика тензоры диэлектрической и магнитной проницаемости будем считать также диагональными с соответствующими компонентами ϵ_d и μ_d .

Решение уравнений Максвелла для каждого из слоев с учетом направления распространения и вида материальных параметров приводит к двум собственным волнам с циркулярно-поляризованными компонентами магнитного $h^\pm = h_x \pm ih_y$ и электрического $e^\pm = e_x \pm ie_y$ полей. Зависимость от времени указанных компонент волнового поля считаем пропорциональной фактору $\exp(i\omega t)$. Для амплитуд магнитного и электрического полей в волне, распространяющейся в слоях магнетика, можно записать следующие выражения:

$$h_f^\pm = A_1 \exp(iv_f^\pm z) + A_2 \exp(-iv_f^\pm z),$$

$$e_f^\pm = \pm \frac{iv_f^\pm}{k_0\epsilon} (A_1 \exp(iv_f^\pm z) - A_2 \exp(-iv_f^\pm z)), \quad (2)$$

где $k_0 = \omega/c$, ω и c — частота и скорость волны в вакууме, а константа распространения волны соответствующей поляризации

$$v_f^\pm = k_0 \sqrt{\epsilon_f \mu^\pm}.$$

Здесь эффективная магнитная проницаемость магнитных слоев

$$\mu^\pm = \mu \pm \mu_a = 1 + \frac{\omega_M(\omega_H^2 \pm \omega\omega_H + i\omega_r\omega)}{\omega_H(\omega_H^2 - \omega^2 + 2i\omega_r\omega)}. \quad (3)$$

Характерными частотами для эффективной магнитной проницаемости правополяризованной волны в отсутствие затухания являются частота ферромагнитного резонанса ω_H , где $\mu^+ \rightarrow \infty$, и частота антирезонанса $\omega_a = \omega_H + \omega_M$, где $\mu^+ \rightarrow 0$. Для левополяризованной волны, описываемой величиной μ^- , особенностей в частотной зависимости константы распространения нет.

Для амплитуд магнитного и электрического поля в диэлектрических слоях могут быть записаны выражения, аналогичные (2):

$$h_d^\pm = B_1 \exp(iv_d z) + B_2 \exp(-iv_d z),$$

$$e_d^\pm = \pm \frac{iv_d}{k_0\epsilon_d} [B_1 \exp(iv_d z) - B_2 \exp(-iv_d z)], \quad (4)$$

где константы распространения волн обеих циркулярных поляризаций одинаковы и равны $v_d = k_0 \sqrt{\epsilon_d \mu_d}$.

Матрицы преобразования и дисперсионные соотношения

Для нахождения распределения поля в рассматриваемой плоскостной периодической структуре запишем условия непрерывности тангенциальных компонент поля на границе раздела слоев (например, при $z = d_1$) и условия периодичности, связывающие поля в плоскостях $z = 0$ и $z = d = d_1 + d_2$:

$$h_f^\pm(d_1) = h_d^\pm(d_1), \quad e_f^\pm(d_1) = e_d^\pm(d_1),$$

$$h_d^\pm(d) = h_f^\pm(0) \exp(iv_{\text{eff}}^\pm d), \quad e_d^\pm(d) = e_f^\pm(0) \exp(iv_{\text{eff}}^\pm d), \quad (5)$$

где v_{eff}^\pm — продольная компонента эффективного волнового вектора распространяющейся в структуре волны, играющая роль блоховского волнового числа. Введем матрицы преобразования \hat{m}^\pm , связывающие поля в плоскостях, разделенных периодом структуры:

$$\begin{pmatrix} h^\pm(0) \\ e^\pm(0) \end{pmatrix} = \hat{m}^\pm \begin{pmatrix} h^\pm(d) \\ e^\pm(d) \end{pmatrix}. \quad (6)$$

Для компонент матриц преобразования получаем следующие выражения:

$$m_{11}^\pm = C_1^\pm C_2 - \frac{\epsilon_f v_d}{\epsilon_d v_f^\pm} S_1^\pm S_2,$$

$$m_{12}^\pm = \mp \frac{k_0 \epsilon_d}{v_d} C_1^\pm S_2 \mp \frac{k_0 \epsilon_f}{v_f^\pm} S_1^\pm C_2,$$

$$m_{21}^\pm = \pm \frac{v_f^\pm}{k_0 \epsilon_f} S_1^\pm C_2 \pm \frac{v_d}{k_0 \epsilon_d} C_1^\pm S_2,$$

$$m_{22}^\pm = -\frac{\epsilon_d v_f^\pm}{\epsilon_f v_d} S_1^\pm S_2 + C_1^\pm C_2, \quad (7)$$

где введены обозначения

$$C_1^\pm = \cos(v_f^\pm d_1), \quad C_2 = \cos(v_d d_2),$$

$$S_1^\pm = \sin(v_f^\pm d_1), \quad S_2 = \sin(v_d d_2). \quad (8)$$

В отсутствие поглощения матрицы \hat{m}^\pm являются унитарными, т. е. их определитель равен единице.

Дисперсионное соотношение для электромагнитных волн в безграничной среде, состоящей из периодическо-

го повторения слоев магнетика и диэлектрика, может быть записано с использованием диагональных компонент матриц \hat{m}^\pm :

$$\begin{aligned} \cos(v_{\text{eff}}^\pm d) &= \frac{m_{11}^\pm + m_{22}^\pm}{2} \\ &= C_1^\pm C_2 - \frac{1}{2} \left(\frac{v_d \varepsilon_f}{v_f^\pm \varepsilon_d} + \frac{v_f^\pm \varepsilon_d}{v_d \varepsilon_f} \right) S_1^\pm S_2. \end{aligned} \quad (9)$$

Полученное уравнение связывает между собой частоту ω и блоховское волновое число v_{eff}^\pm собственных циркулярно-поляризованных волн с учетом всех параметров структуры. Вид этого уравнения характерен для зонного спектра волн, распространяющихся в бинарной периодической структуре.

Наиболее простой вид дисперсионное соотношение (9) принимает в приближении мелкослойной среды, когда выполняются условия $(v_f d_1, v_d d_2) \ll 1$. При этом эффективное волновое число собственных типов волн определяется следующим образом:

$$v_{\text{eff}}^\pm = \frac{1}{1 + \theta} \left[(v_f^\pm)^2 \theta^2 \left(1 + \frac{\varepsilon_d}{\theta \varepsilon_f} \right) + v_d^2 \left(1 + \frac{\theta \varepsilon_f}{\varepsilon_d} \right) \right]^{1/2}, \quad (10)$$

где $\theta = d_1/d_2$, а параметр $1/(1 + \theta)$ определяет вклад в период структуры диэлектрических слоев. В предельных случаях $\theta \rightarrow 0$ и $\theta \rightarrow \infty$ эффективное волновое число $v_{\text{eff}}^\pm \rightarrow v_d$ и $v_{\text{eff}}^\pm \rightarrow v_f^\pm$ соответственно. Подробное исследование выражения (10) для произвольных значений параметра θ проведено в работе [9].

На рис. 1 представлены две первые зоны Бриллюэна дисперсионных зависимостей для право- (а) и левополяризованных (b) волн, распространяющихся в структуре с параметрами $d_1 = 0.6$ см, $d_2 = 0.4$ см, $\omega_H = 3.52 \cdot 10^{10}$ с⁻¹, $\omega_a = 6.63 \cdot 10^{10}$ с⁻¹, $\varepsilon_f = 5.5$, $\varepsilon_d = 2$. Для волн обеих поляризацій дисперсионные зависимости имеют вид чередующихся разрешенных и запрещенных зон, внутри каждой из разрешенных зон характер этих зависимостей периодический. В спектре правополяризованных волн вблизи резонансной частоты ω_H имеются особенности, связанные с соответствующей частотной зависимостью эффективной магнитной проницаемости $\mu^+(\omega)$. При приближении к резонансной частоте со стороны низких частот имеет место сгущение разрешенных и запрещенных зон. С дальнейшим ростом частоты чередование разрешенных и запрещенных зон продолжается, при этом изменение ширины указанных зон с ростом частоты носит немонотонный характер и существенно зависит от периода структуры. Для левополяризованных волн в спектре отсутствуют особенности, имеющиеся в спектре правополяризованных волн вблизи резонансной частоты.

На рис. 2 представлена зависимость частоты от толщины ферромагнитных слоев для собственных циркулярно-поляризованных волн, полученная на основе решения дисперсионного соотношения (9). При вычислениях толщина диэлектрических слоев считается

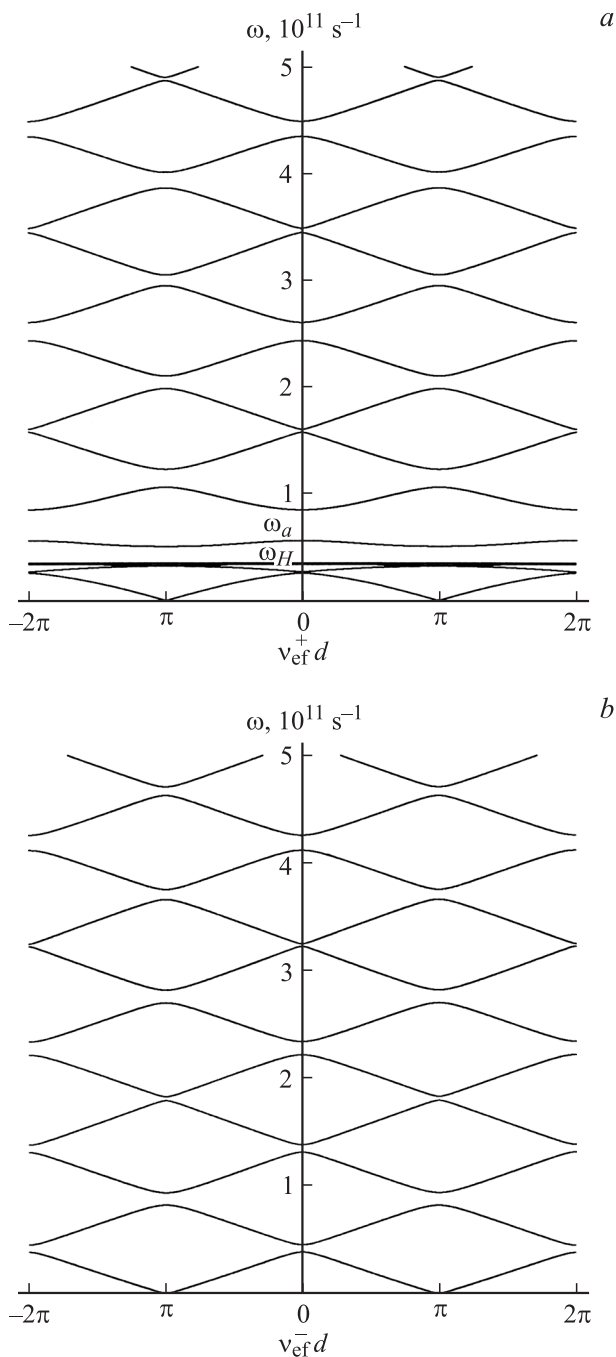


Рис. 1.

постоянной и равна $d_2 = 0.4$ см, а период структуры $d = d_1 + d_2$ является переменным. Запрещенные зоны, в которых собственные волны распространяться не могут, заштрихованы. Видно, что в области частот $\omega < \omega_H$ ширина запрещенных зон для правополяризованных волн намного меньше, чем в области $\omega > \omega_H$. Характерной особенностью спектра является наличие частот, в которых происходит „схлопывание“ запрещенных зон:

$$\omega_l = \frac{\pi c l}{d_2 \sqrt{\varepsilon_d \mu_d}}, \quad l = 1, 2, \dots \quad (11)$$

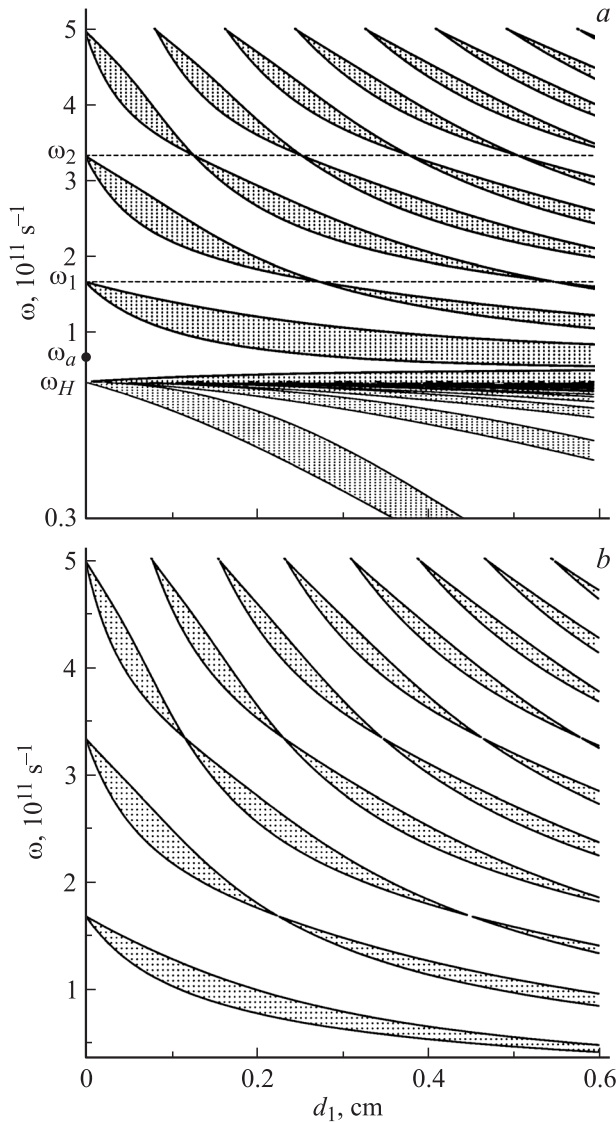


Рис. 2.

Так, для правополяризованной волны на частотах $\omega_1 = 1.66 \cdot 10^{11} \text{ s}^{-1}$ и $\omega_2 = 3.32 \cdot 10^{11} \text{ s}^{-1}$ ширина всех запрещенных зон обращается в нуль.

При наличии поглощения в структуре мнимая часть блововского волнового числа определяет эффективную глубину проникновения поля соответствующей поляризации в структуру, а именно $\delta_{\text{eff}}^{\pm} = (\text{Im}v_{\text{eff}}^{\pm})^{-1}$.

Коэффициенты отражения и прохождения

Магнитооптические свойства исследуемой периодической структуры наиболее полно могут быть выявлены в экспериментах по отражению электромагнитной волны, падающей на структуру из однородной среды. В связи с этим определим коэффициент отражения циркулярно-поляризованной волны для исследуемой периодической

структуры и проанализируем его зависимость от параметров структуры и излучения. Пусть из области $z < 0$, занятой однородной немагнитной средой с проницаемостями ϵ и μ , на периодическую структуру, занимающую область $z > 0$, нормально границам раздела слоев падает плоская волна с частотой ω и волновым числом $k = k_0\sqrt{\epsilon\mu}$. В этом случае полное волновое поле в области $z < 0$ является суммой полей падающей и отраженной волн и его можно записать в виде:

$$h^{\pm} = h_i^{\pm} [\exp(ikz) + r \exp(-ikz)],$$

$$e^{\pm} = \pm \frac{ik}{k_0\epsilon} h_i^{\pm} [\exp(ikz) - r \exp(-ikz)], \quad (12)$$

где $r = h_r^{\pm}/h_i^{\pm}$ — комплексный амплитудный коэффициент отражения, h_r^{\pm} и h_i^{\pm} — амплитуда отраженной и падающей волн. Для нахождения коэффициента отражения воспользуемся выражениями для полей в слоях ферромагнетика (2), диэлектрика (4), граничными условиями и условиями периодичности (5), а также граничными условиями на плоскости раздела „однородное полупространство–ферромагнетик“: $h^{\pm}(0) = h_f^{\pm}(0)$, $e^{\pm}(0) = e_f^{\pm}(0)$, где левая часть этих уравнений определяется соотношениями (12). Решая указанную систему уравнений, легко получить выражение для амплитудного коэффициента отражения r^{\pm} . Для дальнейшего анализа приведем выражения для энергетического коэффициента отражения $R^{\pm} = |r^{\pm}|^2$ периодической среды:

$$R^{\pm} = \left| \frac{a-b}{a+b} \right|^2 = \frac{(a'-b')^2 + (a''-b'')^2}{(a'+b')^2 + (a''+b'')^2}, \quad (13)$$

где введены параметры:

$$a = a' + ia'' = \exp(iv_{\text{eff}}^{\pm}d) - m_{22}, \quad b = b' + ib'' = Zm_{12}$$

и импеданс внешней немагнитной среды $Z = ik/k_0\epsilon$.

Для структуры, содержащей конечное число периодов n , выражение для амплитудного коэффициента отражения может быть записано с помощью элементов передаточной матрицы $\hat{\mathbf{M}}^{\pm} = (\hat{\mathbf{m}}^{\pm})^n$:

$$r^{\pm} = \frac{(M_{11}^{\pm} + Z_l^{\pm} M_{22}^{\pm}) Z_1^{\pm} - (M_{21}^{\pm} + Z_l^{\pm} M_{12}^{\pm})}{(M_{11}^{\pm} + Z_l^{\pm} M_{12}^{\pm}) Z_1^{\pm} + (M_{21}^{\pm} + Z_l^{\pm} M_{22}^{\pm})}, \quad (14)$$

где $Z_1^{\pm} = Z_l^{\pm} = \pm Z$ — импедансы первой и последней сред. Компоненты передаточной матрицы $\hat{\mathbf{M}}^{\pm}$ определяются выражениями:

$$M_{\alpha\alpha}^{\pm} = m_{\alpha\alpha}^{\pm} U_{n-1}(\chi) - U_{n-2}(\chi),$$

$$M_{\alpha\beta}^{\pm} = m_{\alpha\beta}^{\pm} U_{n-1}(\chi), \quad \alpha, \beta = 1, 2, \quad (15)$$

где, в соответствии с [11], введена функция

$$U_{n-1}(\chi) = \sin(n\chi) / \sin \chi,$$

зависящая от числа периодов n , и переменная χ , связанная с элементами матрицы $\hat{\mathbf{m}}^{\pm}$ соотношением:

$$\chi = \arccos \left(\frac{m_{11}^{\pm} + m_{22}^{\pm}}{2} \right). \quad (16)$$

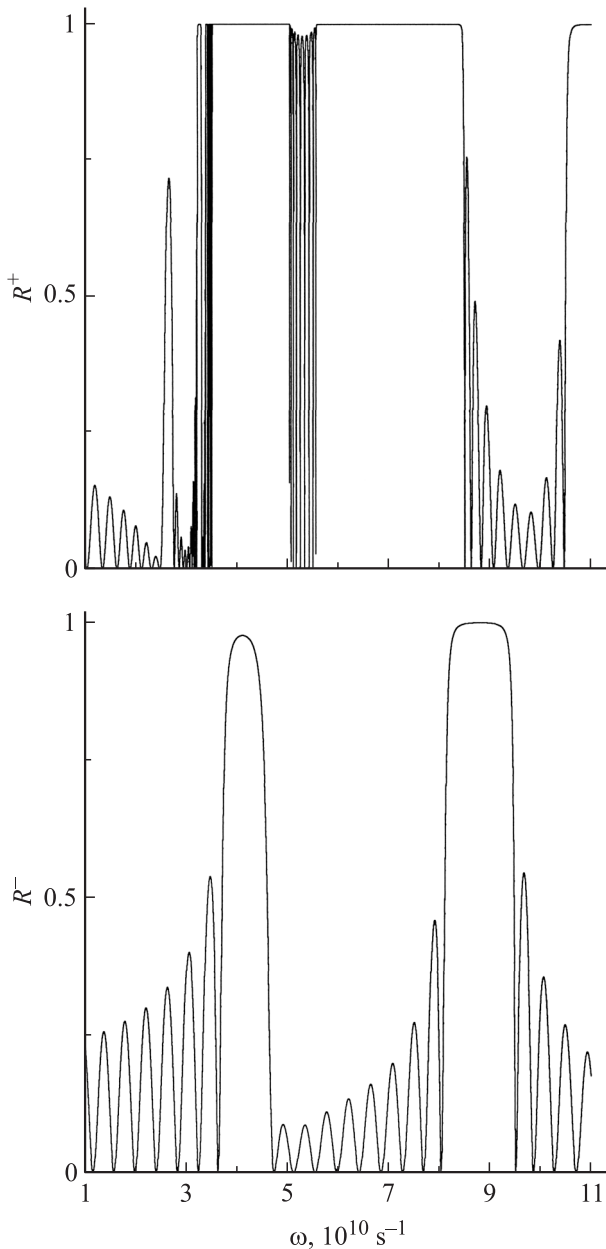


Рис. 3.

На рис. 3 представлена зависимость от частоты коэффициентов отражения R^\pm циркулярно-поляризованных волн, падающих нормально границам раздела слоев на непоглощающую периодическую структуру с периодом $d = 1$ см. Структура содержит $n = 10$ периодов, толщина магнитных и немагнитных слоев $d_1 = 0.6$ см и $d_2 = 0.4$ см. Сравнивая приведенные зависимости со спектральными, отмечаем, что в области запрещенных зон коэффициент отражения близок к единице. Вне запрещенных зон имеют место быстрые осцилляции коэффициента отражения. Вблизи частот ферромагнитного резонанса осцилляции коэффициента R^+ существенно сгущаются. Для энергетических коэффициентов прохождения в отсутствие затухания справедливо соотноше-

ние $T^\pm = 1 - R^\pm$. Поэтому в запрещенных областях значения коэффициентов T^\pm близко к нулю, а в разрешенных испытывают сильные осцилляции, приближаясь в максимумах к единице.

С ростом числа периодов в структуре число осцилляций увеличивается, а их амплитуда уменьшается. На рис. 4 зависимости $R^\pm(\omega)$ представлены для структуры с числом периодов $n \rightarrow \infty$. Осцилляции, характерные для структуры с конечным числом периодов, в этом случае отсутствуют. Пунктиром на этом рисунке приведены соответствующие зависимости, полученные с учетом затухания в магнитной подсистеме, которое определяется параметром $\xi = 0.02$ в уравнении Ландау–Лифшица. При наличии затухания часть падающей на структуру энергии поглощается магнитной подсистемой. Доля

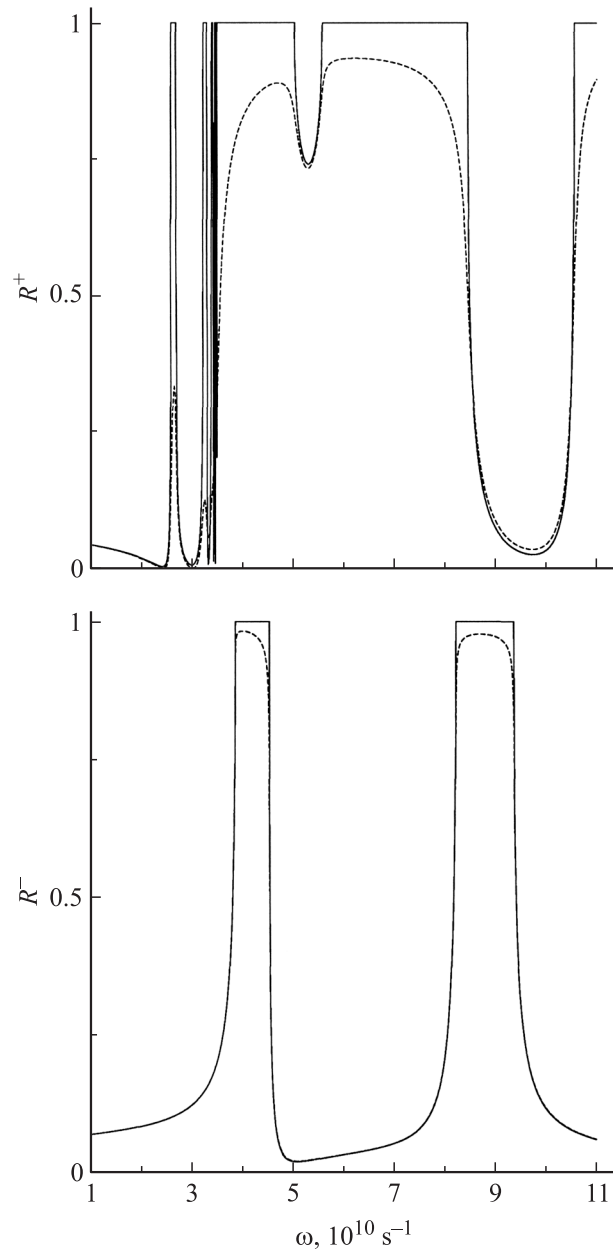


Рис. 4.

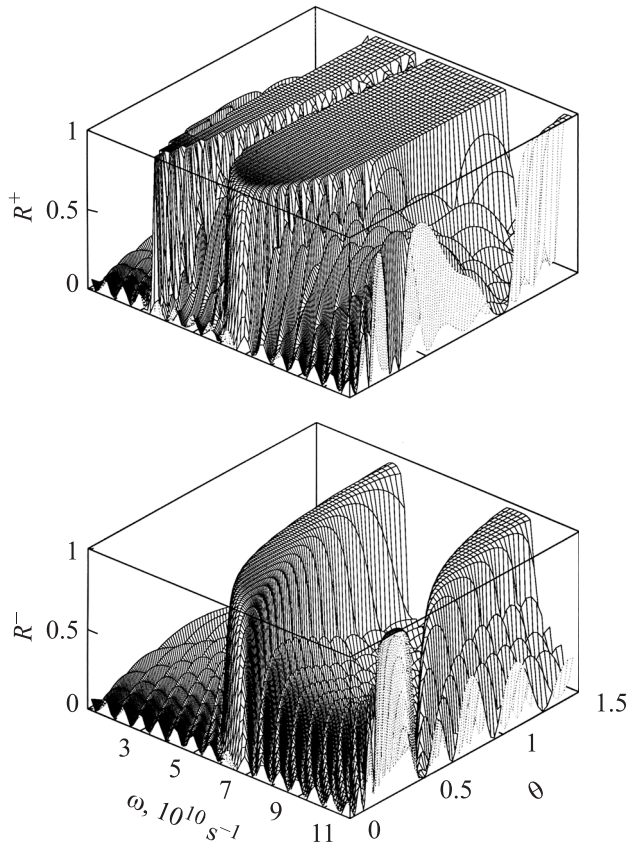


Рис. 5.

этой энергии от величины падающей энергии определяется коэффициентом поглощения $D^\pm = 1 - R^\pm - T^\pm$.

На рис. 5 представлены зависимости коэффициентов отражения R^\pm от частоты ω и отношения толщины слоев в одном периоде $\theta = d_1/d_2$ для непоглощающей структуры, содержащей $n = 10$ периодов. Видно, что внутри областей, где значения указанных переменных отвечают запрещенным зонам, коэффициенты отражения принимают значения $R^\pm \rightarrow 1$. Начиная со значения параметра $\theta \approx 0.5$ ширина частотной области, где коэффициент отражения R^+ практически равен единице, не изменяется с ростом толщины магнитных слоев. Вне запрещенных зон измерение коэффициентов отражения носит осцилляционный характер.

Поляризационные эффекты

В рассматриваемой геометрии падения линейно-поляризованной волны на периодическую структуру для отраженной волны имеет место полярный эффект Керра. Эллиптичность и угол поворота отраженной волны в этом случае, согласно [10], определяются выражениями:

$$E_K = \frac{|r^-| - |r^+|}{|r^-| + |r^+|}, \quad \Theta_K = \frac{\varphi_r^+ - \varphi_r^-}{2}, \quad (17)$$

где $|r^\pm|$ и φ_r^\pm — амплитуды и фазы комплексных амплитудных коэффициентов отражения от слоя волн правой и левой круговой поляризации $r^\pm = |r^\pm| \exp(i\varphi_r^\pm)$. Согласно выражению (17), при значениях параметров, для которых $|r^+|$, поляризация отраженной волны будет линейной. Для достижения максимального поворота плоскости поляризации отраженной волны энергетические коэффициенты отражения циркулярных волн обеих поляризаций должны быть одинаковыми.

На рис. 6 представлена частотная зависимость керровского угла θ_K вращения плоскости поляризации отраженной от структуры линейно-поляризованной волны. Указанная зависимость получена на основе выражения (17) для структуры, содержащей один (a) и десять (b) периодов. В случае одного периода на интервале

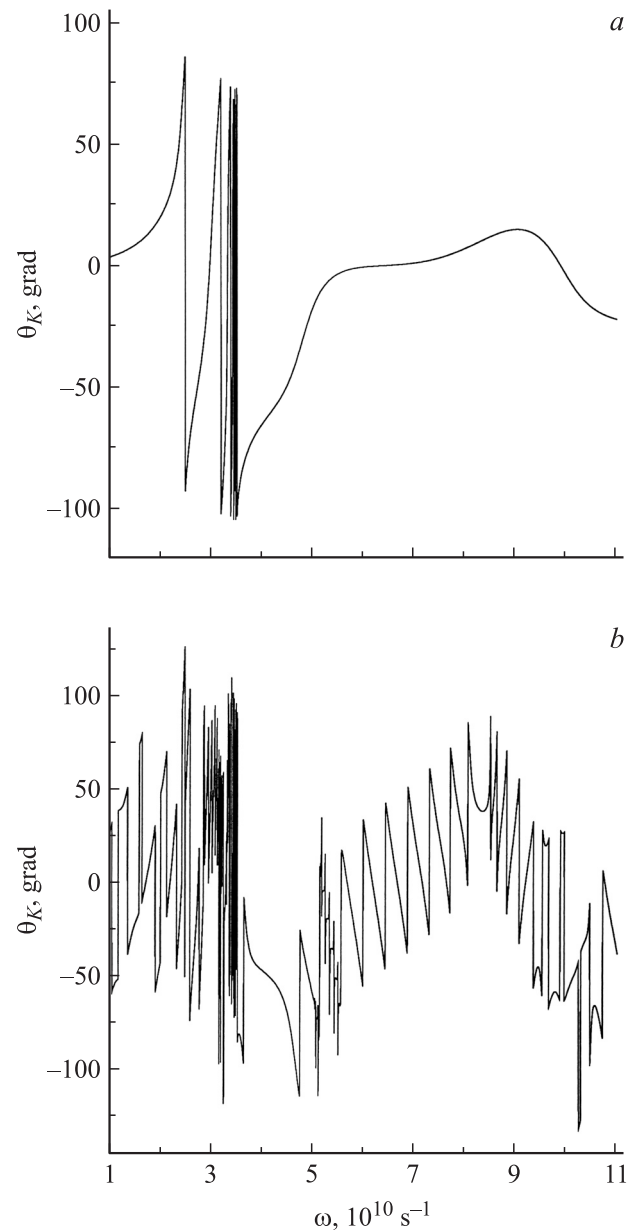


Рис. 6.

частот $\omega < \omega_H$ имеют место сгущающиеся скачкообразные изменения угла поворота плоскости поляризации с величиной скачка $\Delta\theta \approx \pi$. На частоте выше резонансной скачки угла поворота плоскости поляризации сменяются плавным и медленным изменением величины θ_K . Для отражающей структуры из десяти периодов скачки $\Delta\theta \approx \pi$ наблюдаются в области частот $\omega < \omega_H$, тогда как в области частот $\omega > \omega_H$ в основном величина скачков $\Delta\theta \approx \pi/2$. Указанные скачки происходят в точках, где один из коэффициентов отражения $R^\pm = 0$. В непосредственной близости к частоте ферромагнитного резонанса ω_H происходит быстрое изменение знака величины θ_K .

Заключение

Проведенный анализ показывает, что спектр собственных циркулярно-поляризованных волн в рассматриваемой одномерной продольно намагниченной периодической структуре имеет характер чередующихся разрешенных и запрещенных зон в области длин волн, соизмеримых с периодом структуры. На конфигурацию разрешенных и запрещенных зон существенным образом влияет полевая и частотная зависимость эффективной магнитной проницаемости магнитных слоев, а также соотношение толщины слоев, составляющих период структуры. Особенностью спектра является наличие частот ω_l , на которых происходит „схлопывание“ всех запрещенных зон.

В работе проведено сравнение выражений коэффициентов прохождения для бесконечной слоистой среды и для структуры, содержащей десять периодов. В последнем случае вне запрещенных зон имеют место быстрые осцилляции коэффициента отражения. При наличии затухания в магнитной подсистеме даже для бесконечной слоистой среды значения коэффициентов отражения не достигают максимального значения единицы. Анализ поляризационных характеристик отраженного от структуры излучения показал, что в областях частот, в которых коэффициенты отражения для право- и левополяризованной волны принимают максимальное значение, равное единице, имеет место плавное изменение угла керровского вращения плоскости поляризации. На частотах, где один из коэффициентов отражения R^\pm равен нулю, происходит скачок величины θ_K на угол, близкий к $\pi/2$. При приближении к частоте ферромагнитного резонанса происходит быстрая смена направления поворота плоскости поляризации.

Наличие в спектре рассмотренной фотоннокристаллической структуры разрешенных и запрещенных зон, ширина которых зависит от величины магнитного поля, может служить основой при создании широкого класса устройств СВЧ-диапазона, управляемых магнитным полем.

Работа выполнена при частичной поддержке гранта молодым ученым Карла Цейсса № 5-11 2009 г.

Список литературы

- [1] Силин Р.А. // УФН. 2006. Т. 175. № 5. С. 562–565.
- [2] Басс Ф.Г., Булгаков А.А., Тетервов А.П. Высокочастотные свойства полупроводников со сверхрешетками. М.: Наука, 1989. 287 с.
- [3] Булгаков А.А., Шрамкова О.В. // ФТП. 2000. Т. 34. Вып. 6. С. 712–718.
- [4] Lyubchanskii I.L., Dadoenkova N.N., Lyubchanskii M.I., Shapovalov E.A., Rasing Th. // Proc. Symp. IEEE/LEOS Benelux Chapter. Enschede, 2003. P. 261.
- [5] Калиш А.Н., Белотелов В.И. // Уч. зап. Казанского государственного университета. Физ.-мат. науки. 2006. Т. 148. Кн. 1. С. 129–134.
- [6] Кособукин В.А. // ФТТ. 2006. Т. 48. Вып. 11. С. 2089–2094.
- [7] Семенцов Д.И., Степанов М.М. // ФТТ. 2008. Т. 50. Вып. 3. С. 431–435.
- [8] Вендик И.Б., Вендик О.Г., Гашинова М.С. // Письма в ЖТФ. 2006. Т. 32. Вып. 10. С. 30–39.
- [9] Елисеева С.В., Семенцов Д.И. // ЖТФ. 2005. Т. 75. Вып. 7. С. 106–111.
- [10] Гуревич А.Г. Магнитный резонанс в ферритах и антиферромагнетиках. М.: Наука, 1973. 591 с.
- [11] Борн М., Вольф Э. Основы оптики. М.: Наука, 1970. 855 с.